

- , (13 %), 2009 .
 - — ; (1 %),
1. / , 1989. – 456 .
 2. 2. - // , -
 3. 2013. – 424 .
 4. 22-01-95. « » , 2009.
 5. - ,
1995. – 198 .
6. // -
 7. , 2007. – . 317-319. //
 8. – 2011. – 4. – . 30-35. // - 2013. – 4. – . 6-11.

8(3452)688765, e-mail: agubarkov@rambler.ru.

« » , . 8(3452)451711

« » , . 8(3452)451711

Gubarkov A. A., senior scientific worker, Subarctic scientific-and-training ground of the Research Center of Tyumen State Oil and Gas University, SB RAS, agubarkov@mail.ru.

Idrisov I. R., Head of Ecological and Audit Department, ZAO Research-and-Production Center «SibGeo»

Kirillov A. V., Deputy Director in Ecology, Research-and-Production Center «SibGeo»

551.86

16

()

A STRUCTURE AND CONDITIONS OF FORMATION OF BED BP₁₆
IN THE OIL FIELD VYNGAYAKHINSKOYE (WEST SIBERIA)

• •
K. A. Khasanova

Key words: *sedimentation model, depositional environment, electrometric model of facies, reservoir*

[1].

16

(. 1).

16

[2],

16

S

().

[3].

()

[4].

6

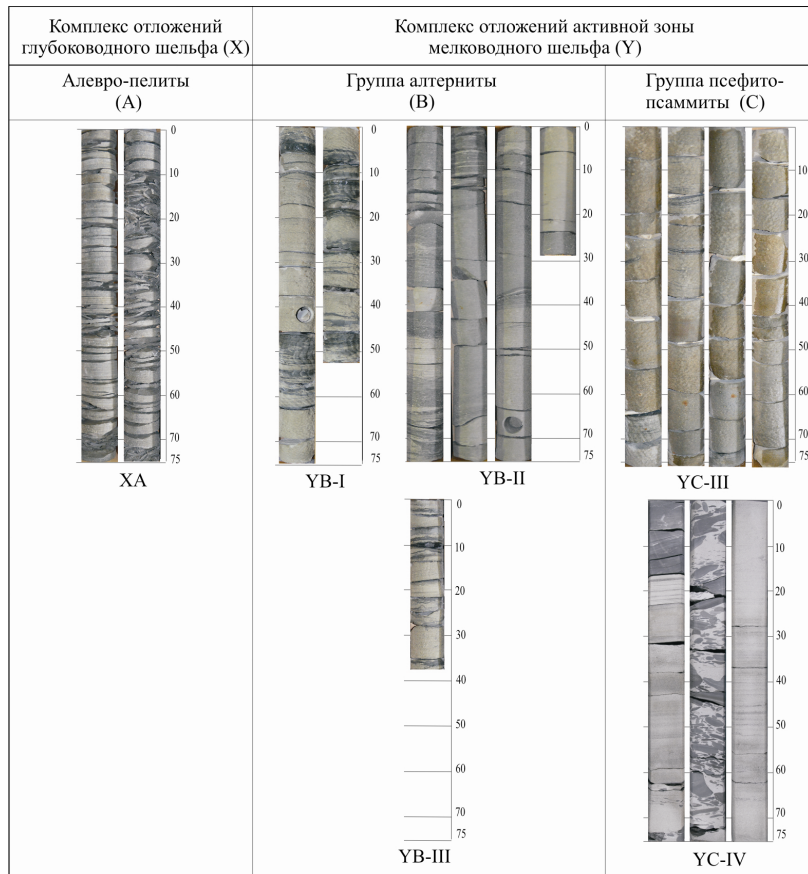
(. 1).

XA —

YB-I —

YB-II —

YB-III —



. 1.

16

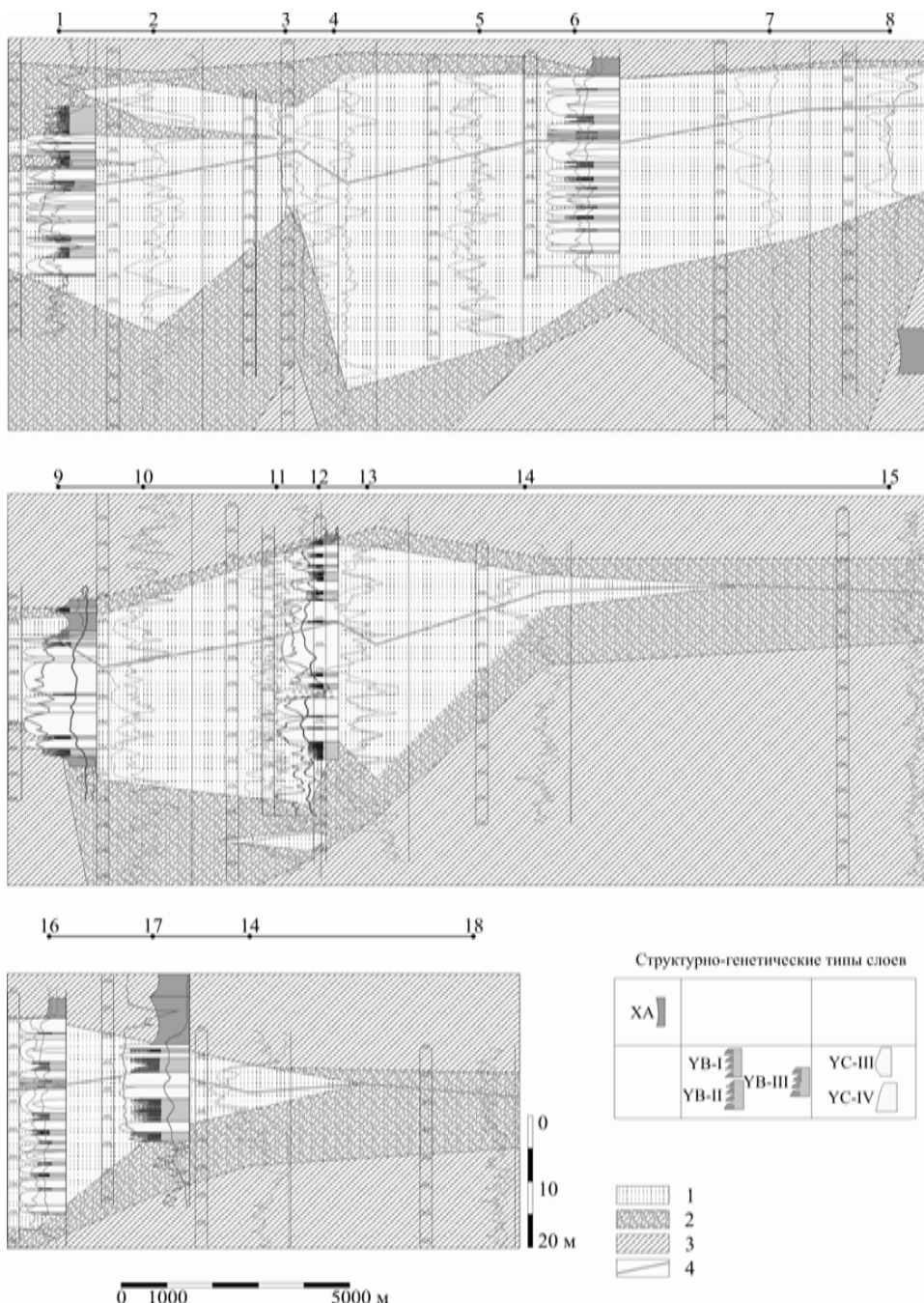
YC-III —

YC-IV —

[3].

5

(. 2).




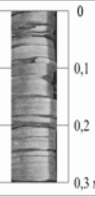

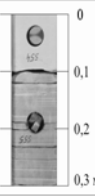

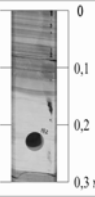

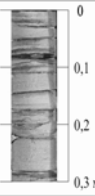
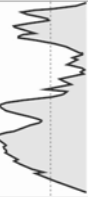
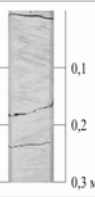

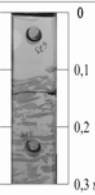
2. - ; 2 - ; 3 - , (1-18 -) ;

[5].

7 () 500 (-

).

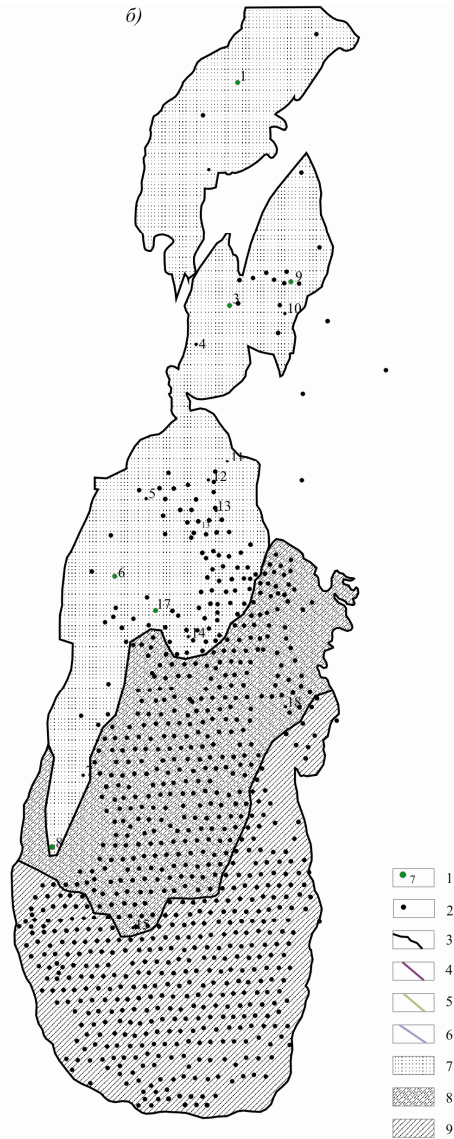
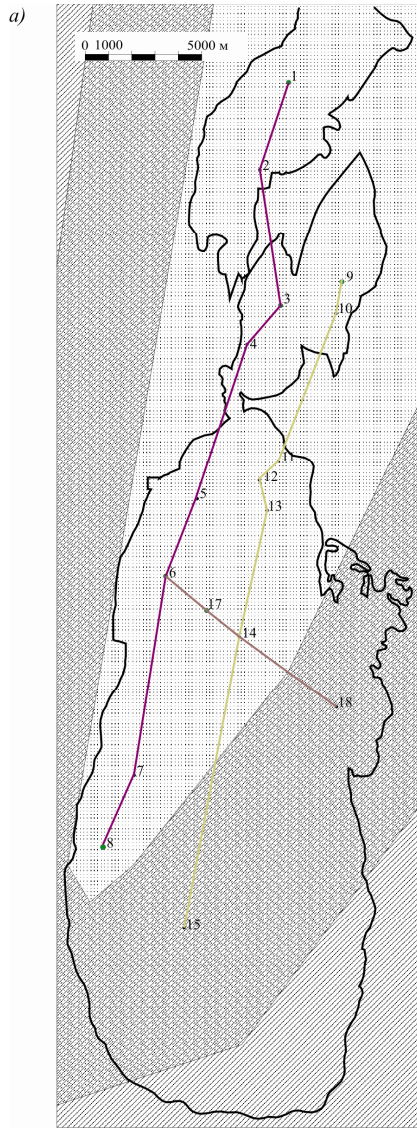
(. 3).

№	Форма кривой ПС	$\alpha_{лс}$	Мощность (по керну, м)	Обстановка осадконакопления	Тип (краткое описание)	Керн
1		0,1	0,3-9,0	Глубоководный шельф Пояс илов	ХА (алевро-пелитовый слой с минимальным размером частиц в средней части)	
2		0,2-0,4	0,4-8,0	Мелководный шельф Пояс лоскутных песков	УВ-I (альтернитовый слой с общим увеличением гранулометрии от подошвы к кровле)	
3		0,2-0,4	0,4-8,0	Мелководный шельф Пояс лоскутных песков	УВ-II (альтернитовый слой с общим уменьшением гранулометрического состава к кровле)	
4		0,2-0,4	0,3-1,2	Мелководный шельф Пояс подводных валов	УВ-III (тонкое линзовидно-полосчатое чередование алевро-пелитов и псаммитов с минимумом гранулометрического состава в средней части)	
5		0,4-1,0	0,2-9,0	Мелководный шельф Подводный вал	УС-III (псаммитовый слой с максимальным размером частиц в средней части)	
6		0,4-0,8	0,2-11,0	Мелководный шельф Тыловая часть подводного вала	УС-IV (псаммитовый слой с уменьшением гранулометрического состава к кровле)	

. 3.

16

(. 4,),
(. 4,).



1— ; 2— ; 3— ; 4— ; 5— ; 6— ; 7— ; 8— ; 9— ; 10— ; 11— ; 12— ; 13— ; 14— ; 15— ; 16— ; 17— ; 18—

1. //
2. . 2010. – . 85, . 3. – . 29-44.
3. , 2010. – 286 с.
4. // . 2011. – . 319. – 1. – . 116-123.
5. , 1984. – 260 .

« », e-mail: pinkyrol-
ler@mail.ru

Khasanova K. A., post-graduate student of the chair «Historical and dynamic geology», National Mineral Resources University, Saint Petersburg, e-mail: pinkyroller@mail.ru

622.276

INFLUENCE OF FLOWS IN THE PERFORATION CHANNELS AND IN THE WELL ON THE SYSTEM PRODUCTIVITY

O. B. Bocharov, D. Yu. Kushnir

« », ;

Key words: numerical algorithm, filtration in porous medium, well oil production, pipe hydraulics, perforation system efficiency

[1].